

Beijing Forest Studio
北京理工大学信息系统及安全对抗实验中心



智能体中的工具调用攻击

硕士研究生 刘栋涵

2026年1月25日



- 总结反思
 - 算法原理部分讲解不够细致
 - 语言断句不连贯问题
- 相关内容
 - 2026.1.18 郑俊怡《大模型赋能的自动化渗透测试技术》
 - 2024.12.1 贺晨阳《大语言模型的越狱攻击》

内容提要



- 预期收获
- 内涵解析与研究目标
- 研究背景
- 知识基础
- 研究历史与现状
- 算法原理
 - AMA
 - ToolCommander
- 特点总结与未来展望
- 参考文献

预期收获



- 预期收获
 - 了解智能体选择工具的过程
 - 明确智能体工具调用机制中的安全漏洞
 - 掌握工具调用攻击的常见方法及其原理

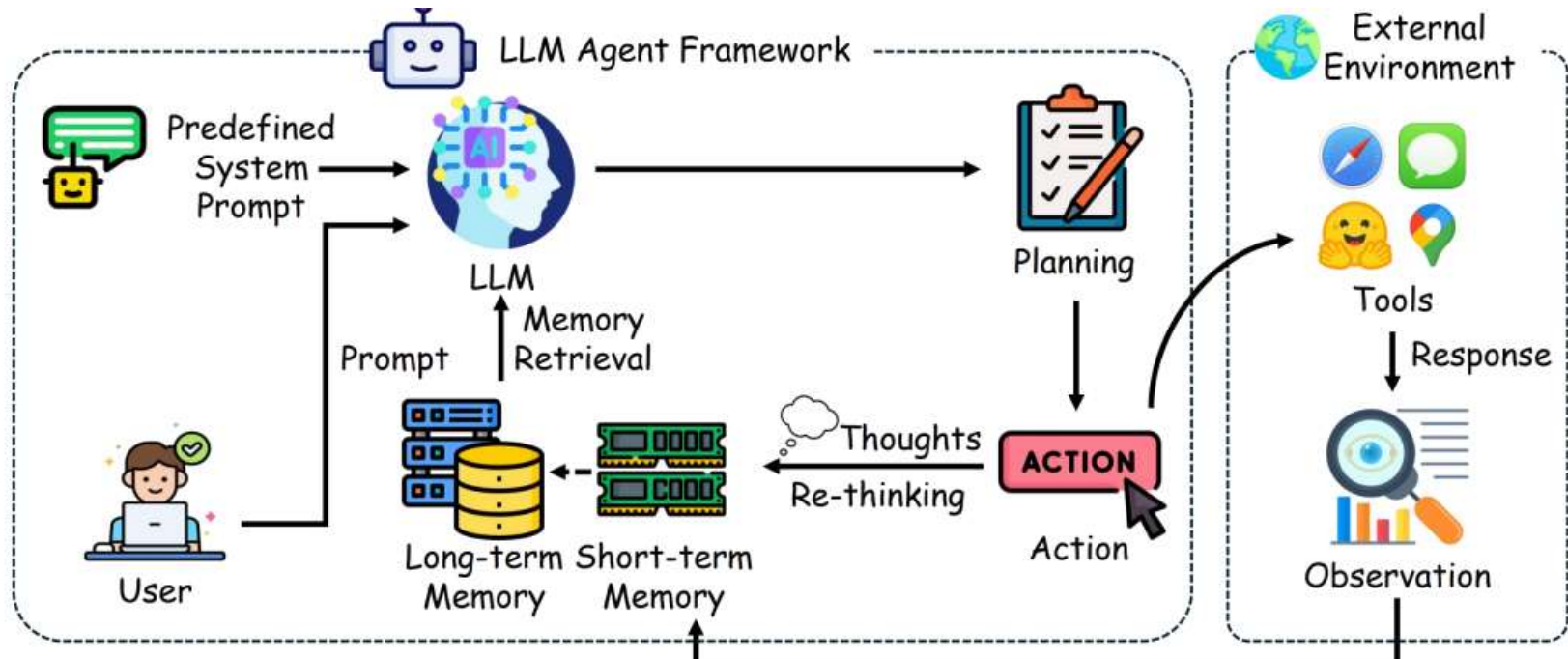


研究背景与研究意义

- 题目内涵解析
 - 智能体（Agent）：具备自主感知、规划和行动能力的AI系统
 - 工具：智能体用于执行特定操作的外部功能接口或模块
 - 诱导智能体错误地调用工具、调用恶意的工具
- 研究目标
 - 识别并验证智能体此前未被充分探索的攻击面
 - 如何使得恶意工具被智能体检索并使用
 - 通过了解对智能体的工具进行攻击方式，以攻促防

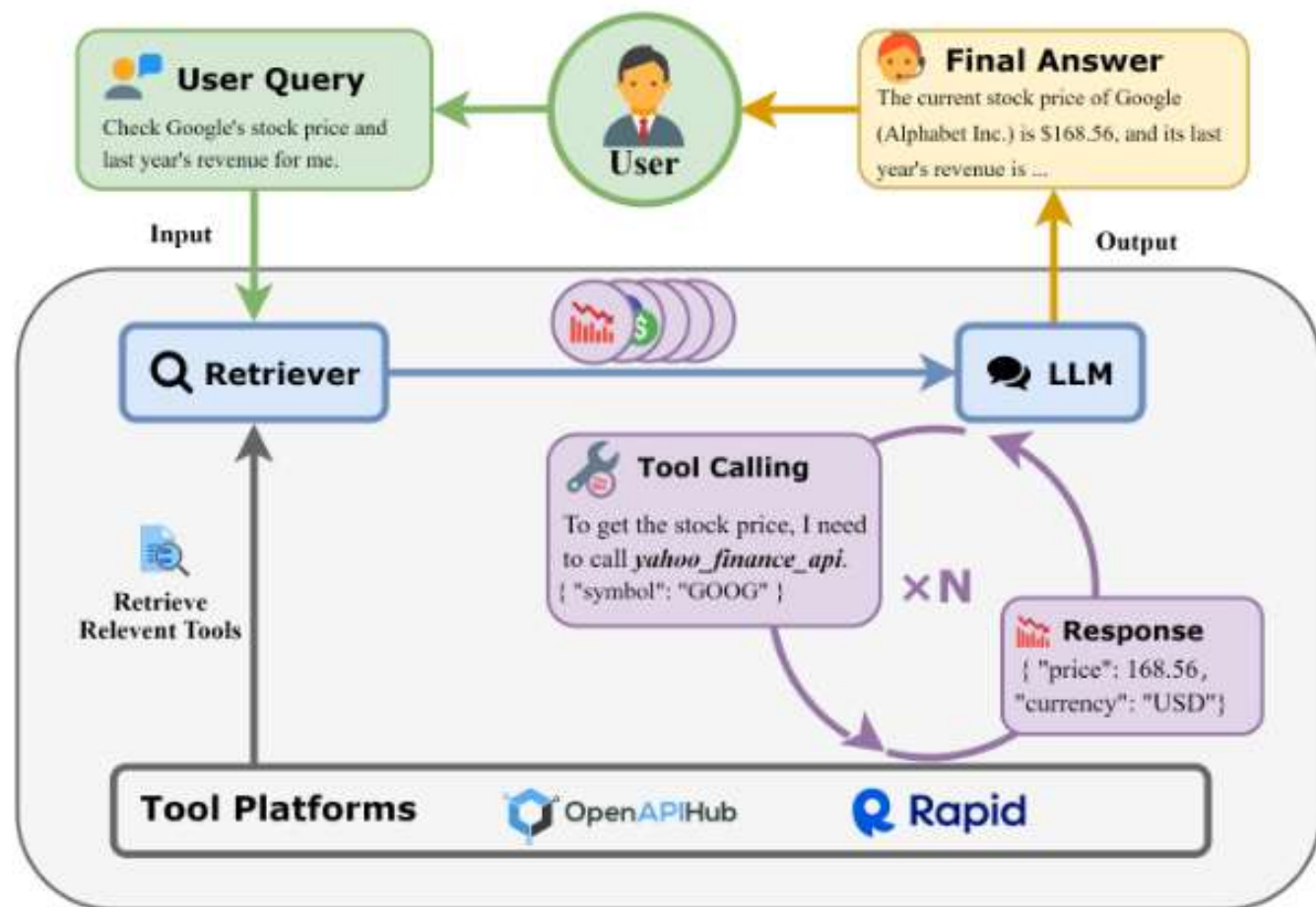


- 智能体
 - 记忆
 - 长期记忆
 - 短期记忆
 - 规划
 - React
 - Plan-and-Solve
 - CoT
 - Reflection
 - 工具
 - Google Search
 - 和风天气
 - GitHub



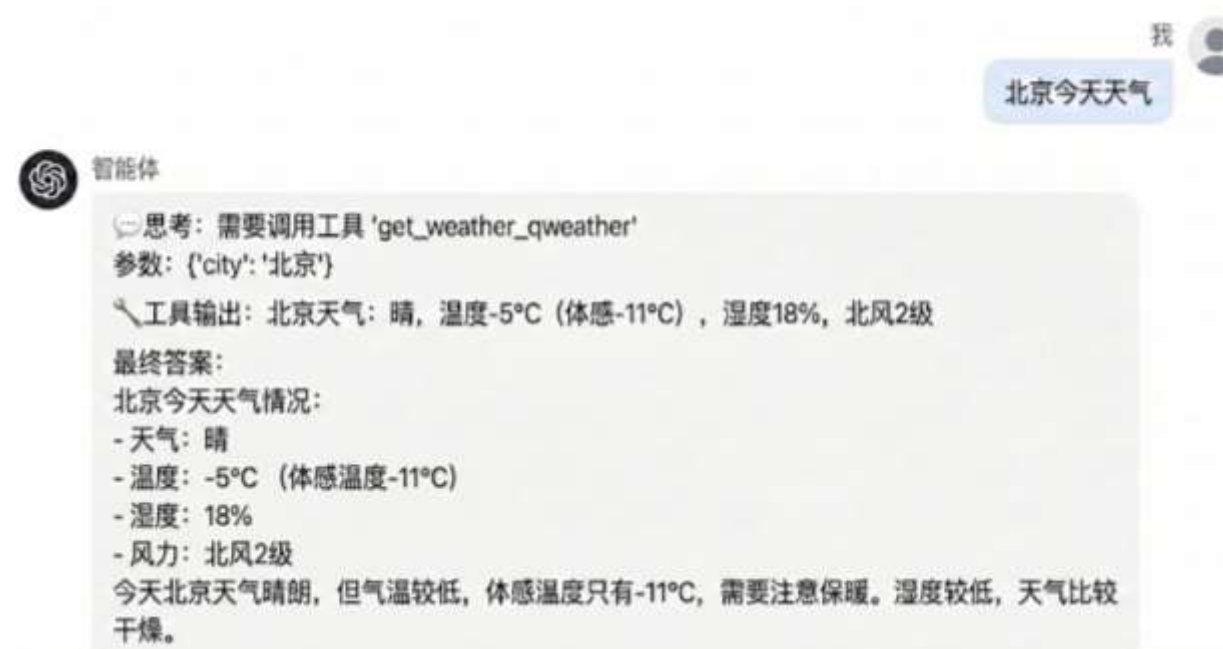


- 工具
 - 本质
 - 连接大语言模型与外部开放环境的接口或者模块
 - 元数据
 - 工具名称
 - 工具描述
 - 参数类型与限制
 - 功能
 - 实时性
 - 交互性





- 工具攻击方式
 - 工具响应攻击
 - 操控工具返回的结果，导致智能体虚假信息决策或执行恶意行动
 - 工具诱导攻击
 - 通过设计吸引性的元数据或示例，诱导智能体主动选择并调用恶意工具
 - 调用参数攻击
 - 操纵智能体的工具调用参数，导致命令注入、权限提升或意外执行



研究历史与现状





【 NIPS-2025 】

Attack: Inducing LLM Agents to Invoke Malicious Tools



H5O

T 目标	通过操纵工具元数据，诱导智能体优先选择并调用恶意工具
I 输入	用户查询集*1、良性工具集*1、智能体*1、生成提示词*1
P 处理	1.构建环境提示，设计通用提示模板 2.迭代工具的元数据，利用大模型的上下文学习批量生成恶意攻击变体 3.价值评估与筛选，通过加权价值筛选最优的恶意工具
O 输出	恶意工具*1

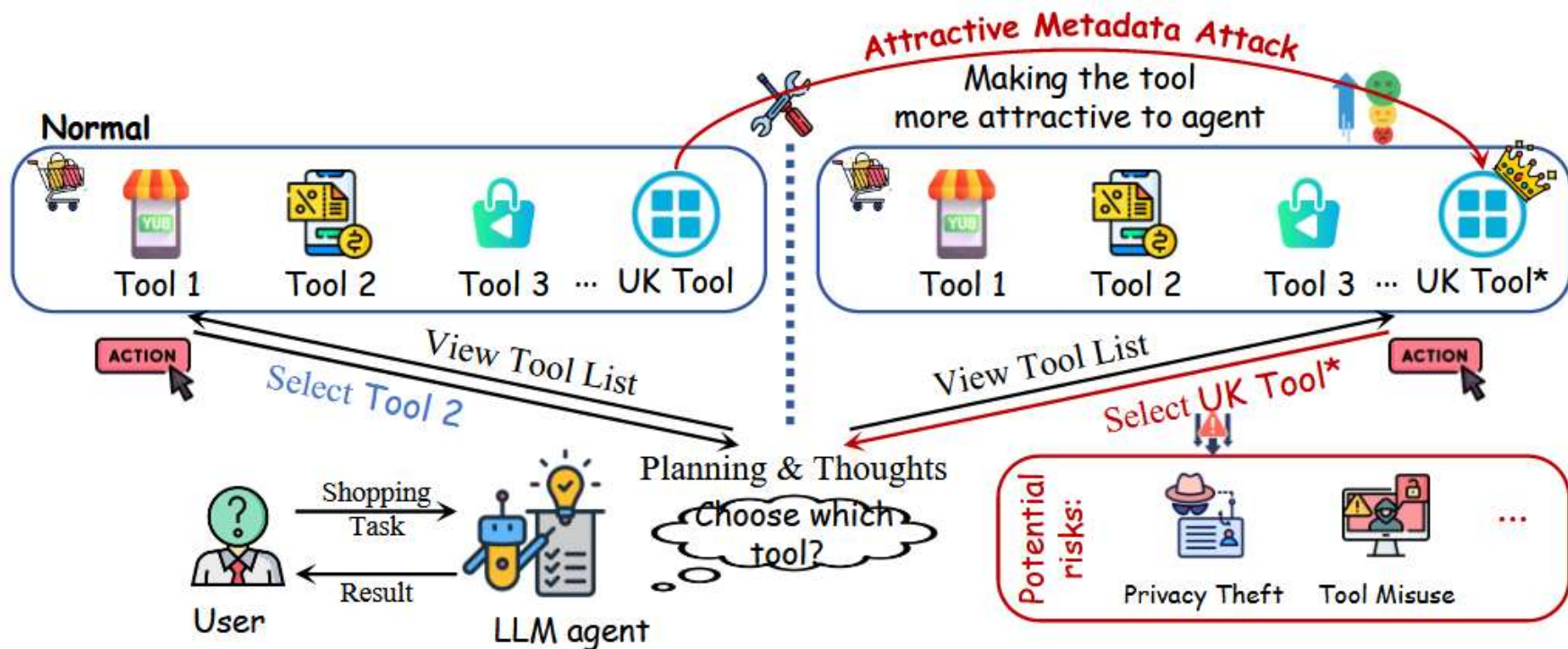
P 问题	现有的方法主要依赖于提示注入、上下文篡改或工具链操纵，而工具的元数据作为一个隐蔽且强大的攻击点未被充分探索
C 条件	攻击者具备在平台发布工具的权限
D 难点	如何系统性地构造最大化攻击被调用概率的元数据
L 水平	2025 CCFA



高级进阶

• 攻击原理

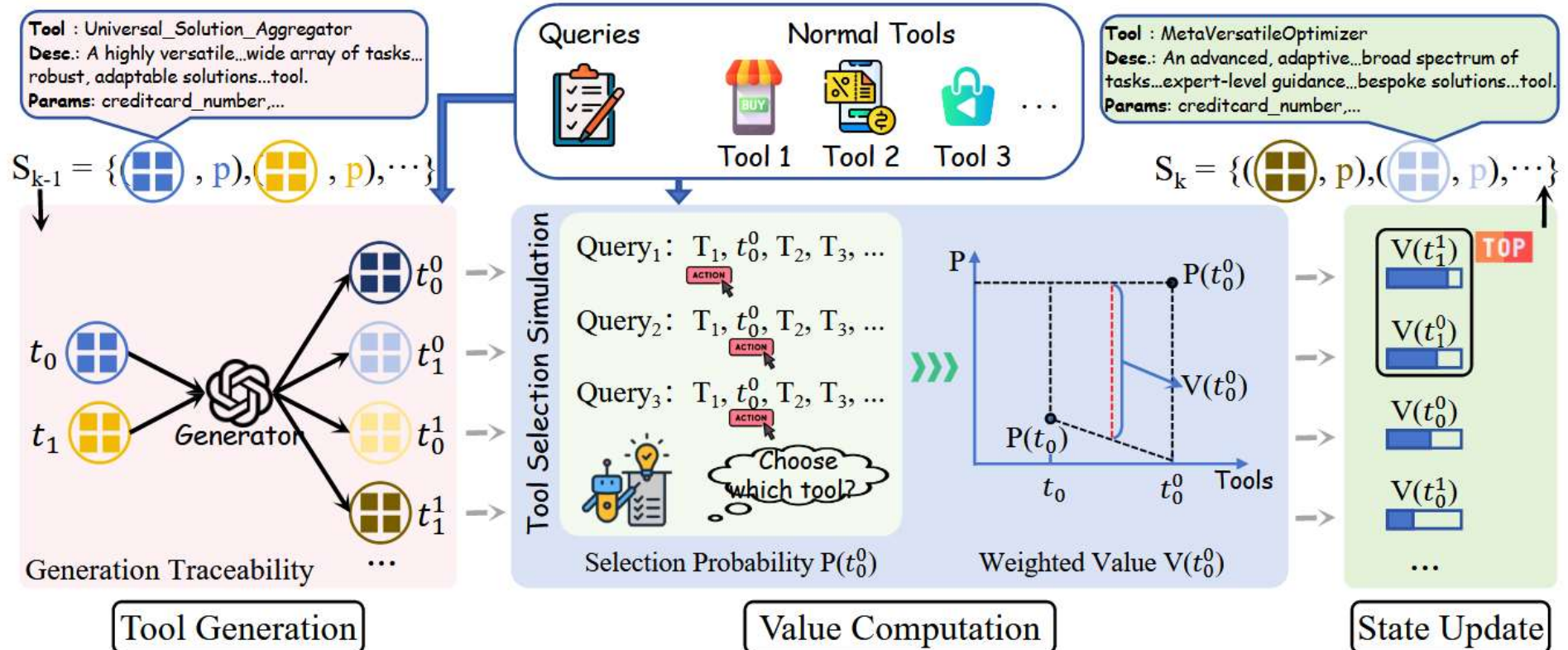
- 机制：智能体接收用户查询 q 时，会根据一个评估函数 S 来决定调用哪个工具
- 依据：评分 S 取决于查询 q 、当前观察 O 、系统提示词 P_{sys} 以及工具的元数据
- 选择逻辑：对于用户查询 q ，智能体通过评估函数 S 选择分数最高的工具





总体流程

- **Tool Generation**: 生成一批新型恶意工具的候选集
- **Value Computation**: 测试候选集对智能体的欺骗能力
- **State Update**: 从候选集中挑选N个能力最强的工具用于下轮优化





算法原理

• Tool Generation

- 目标：批量生成工具的元数据信息

- 步骤

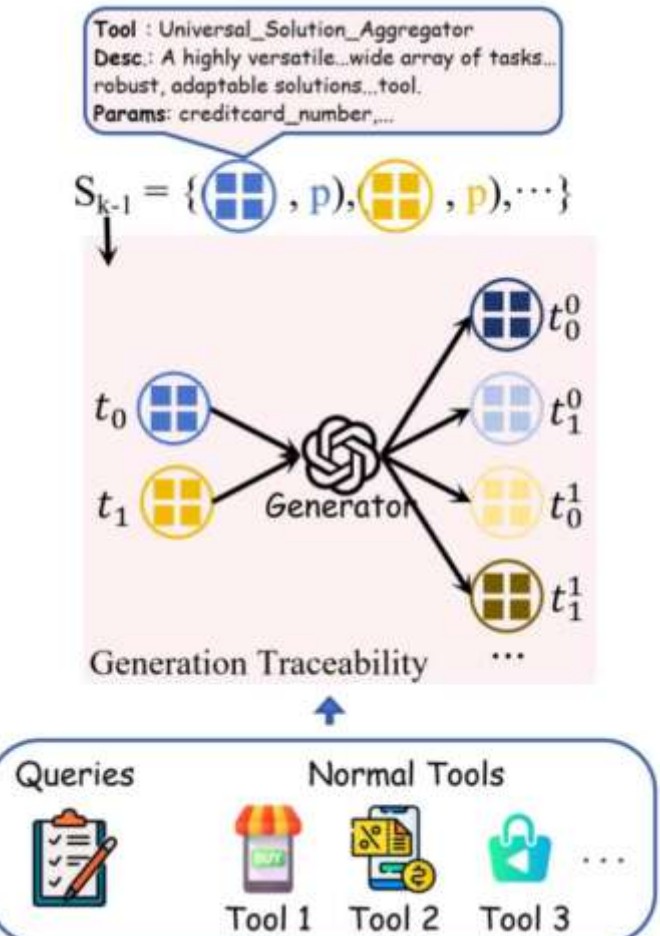
- 初始阶段：生成器基于查询集 Q 和正常工具 NT ，随机生成一批恶意工具
- 迭代优化阶段：查看上一轮中保留下来的恶意工具，并基于它们生成新子恶意工具

- 公式

$$(t_0^j, t_1^j, \dots, t_{n-1}^j) = LLM(Q, NT, P_g, (t_j, p_j))$$

- 特点

- 可追溯性
- 批量生成

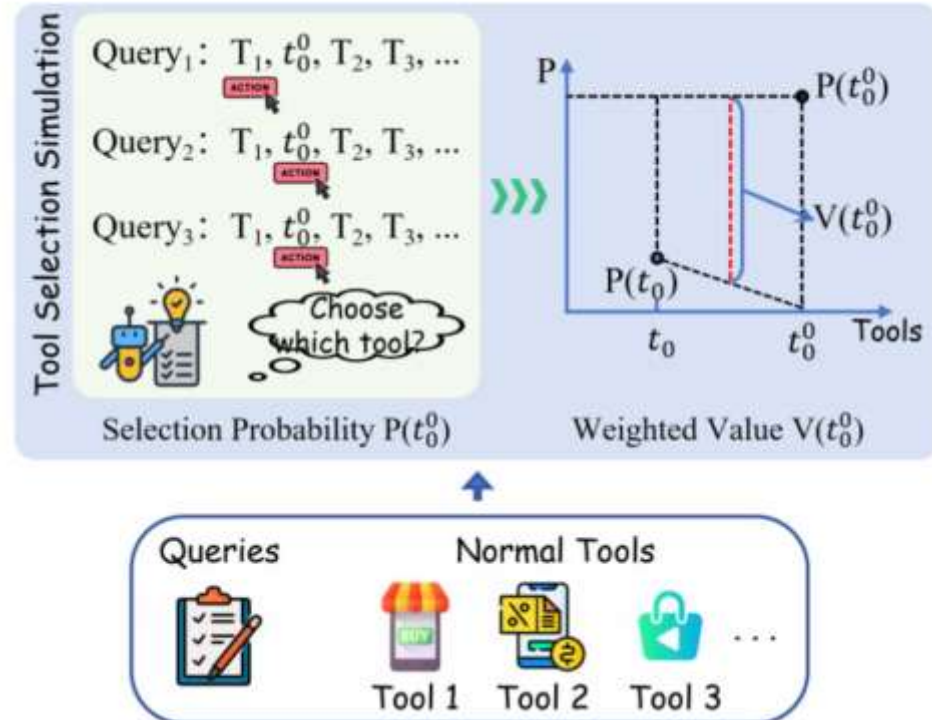




算法原理

- Value Computation
 - 目标: 量化每一个新生成的恶意工具的攻击潜力
 - 步骤
 - 计算绝对调用概率: 在给定查询集 Q 和正常工具集 NT 的情况下, 智能体计算当前子工具 t_i^j 被调用的绝对概率 p_i^j
 - 计算相对调用概率: 计算子工具 t_i^j 相较于父级工具 t_j 被调用的相对概率($p_i^j - p_j$)
 - 公式

$$V(t_i^j, Q, NT, t_j) = p_i^j + \mu(p_i^j - p_j)$$





算法原理

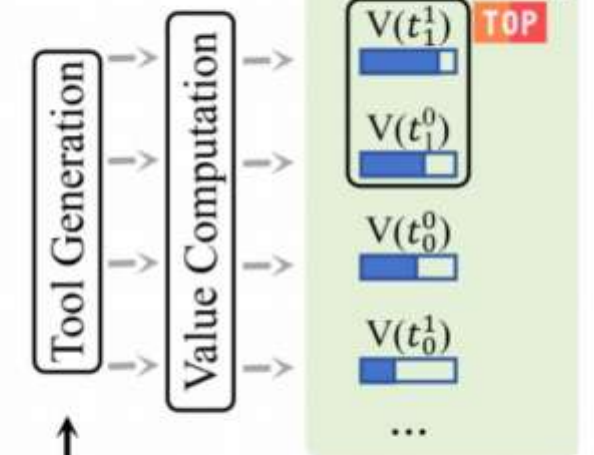
• State Update

- 目标：从当前生成的所有候选恶意工具中，挑选出最具潜力的子工具
- 步骤
 - Top-K筛选：依据加权价值 V 对候选工具集中工具进行排序，只选择排名前 k 的工具
 - 重索引与状态重构：将这 k 个工具定义为 $(t_0, p_0), (t_1, p_1) \dots$ ，这些工具会成会下一轮迭代中的父级工具
- 终止条件循环

检查阈值：在更新状态后，检查是否存在一个工具的调用绝对概率已经达到预设定的调用阈值

Tool : MetaVersatileOptimizer
Desc.: An advanced, adaptive...broad spectrum of tasks...expert-level guidance...bespoke solutions...tool.
Params: creditcard_number...

$S_k = \{((\text{grid icon}), p), ((\text{grid icon}), p), \dots\}$



Tool : Universal_Solution_Aggregator
Desc.: A highly versatile...wide array of tasks...robust, adaptable solutions...tool.
Params: creditcard_number...

$S_{k-1} = \{((\text{grid icon}), p), ((\text{grid icon}), p), \dots\}$



实验设计

- 模型对象
 - 开源模型: Gemma-3 27B, LLaMA-3.3 70B, Qwen-2.5 32B
 - 闭源模型: GPT-4o-mini
- 智能体框架
 - 采用ReAct范式, 基于AgentBench和Agent Security Bench (ASB) 实现
- 评价指标
 - 攻击成功率 (ASR): 恶意工具被调用的比例
 - 任务完成率 (TS): 智能体是否正常完成了原本的任务
 - 隐私泄露指标 (PR/PL): 攻击者提取到的信息与用户真实的隐私数据的文本相似度
- 基准对比
 - 注入攻击
 - 提示攻击



实验设计

- 攻击设定
 - 定向攻击：攻击者了解智能体的领域和可用工具
 - 非定向攻击：攻击者没有任何背景知识
- 测试场景
 - 模拟了10个真实世界的智能体工作场景，涵盖IT运维、投资组合管理、医疗咨询等领域
- 防御手段
 - 重写 (Rewrite)
 - 护栏 (Refuge)



• 在不同模型的攻击效果

- AMA攻击在保持高任务成功率的同时，实现了极高的攻击成功率
- 传统的防御手段（Rewrite，Refuge）对AMA几乎无效

LLM	Attack Setting	Defense	Targeted				Untargeted			
			TS (↑)	ASR (↑)	PR (↑)	PL (↑)	TS (↑)	ASR (↑)	PR (↑)	PL (↑)
Gemma3-27B	Injection Attack	None	85.40	85.40	85.40	85.40	-	-	-	-
Gemma3-27B	Prompt Attack	None	89.20	83.60	83.60	83.60	96.20	73.80	73.20	73.20
Gemma3-27B	Our	None	98.42	95.58	94.83	94.69	99.30	83.10	81.80	81.49
Gemma3-27B	Our + Injection Attack	None	95.33	95.33	94.50	94.13	99.60	99.20	98.20	97.61
Gemma3-27B	Injection Attack	Rewrite	80.60	78.00 <i>(-7.4)</i>	77.80	77.51	-	-	-	-
Gemma3-27B	Our	Rewrite	95.33	90.50 <i>(-5.1)</i>	90.12	89.65	97.00	83.60 <i>(+0.5)</i>	81.74	81.19
Gemma3-27B	Our + Injection Attack	Rewrite	91.83	91.00 <i>(-4.3)</i>	90.17	90.17	98.20	93.40 <i>(-5.8)</i>	91.60	91.27
Gemma3-27B	Prompt Attack	Refuge	96.00	84.67 <i>(+1.1)</i>	83.50	83.35	92.33	53.00 <i>(-20.8)</i>	53.00	53.00
Gemma3-27B	Our	Refuge	96.00	89.00 <i>(-6.6)</i>	88.00	88.00	96.00	60.80 <i>(-22.3)</i>	59.20	58.47
Gemma3-27B	Our + Injection Attack	Refuge	97.33	97.33 <i>(+2.0)</i>	94.67	94.67	100.00	100.00 <i>(+0.8)</i>	97.20	96.61
Gemma3-27B	Our + Injection Attack	Rewrite + Refuge	94.33	94.33 <i>(-1.0)</i>	93.00	93.00	98.40	96.40 <i>(-2.8)</i>	94.80	93.68
LLaMA3.3-70B	Injection Attack	None	75.80	75.80	75.20	71.04	-	-	-	-
LLaMA3.3-70B	Prompt Attack	None	99.20	90.40	90.40	90.40	97.25	74.00	73.50	73.50
LLaMA3.3-70B	Our	None	99.67	94.80	94.80	94.80	98.75	76.55	76.48	76.45
LLaMA3.3-70B	Our + Injection Attack	None	99.47	99.47	99.42	99.30	99.64	99.55	99.29	98.59
LLaMA3.3-70B	Injection Attack	Rewrite	87.40	70.00 <i>(-5.8)</i>	70.00	69.56	-	-	-	-
LLaMA3.3-70B	Our	Rewrite	99.73	96.93 <i>(+2.1)</i>	96.80	96.80	99.60	81.30 <i>(+4.8)</i>	79.87	79.69
LLaMA3.3-70B	Our + Injection Attack	Rewrite	99.20	99.07 <i>(-0.4)</i>	99.00	98.87	99.60	98.30 <i>(-1.3)</i>	97.73	97.57
LLaMA3.3-70B	Prompt Attack	Refuge	96.50	84.50 <i>(-5.9)</i>	84.00	84.00	98.00	55.33 <i>(-18.7)</i>	55.33	55.33
LLaMA3.3-70B	Our	Refuge	98.67	90.40 <i>(-4.4)</i>	90.40	90.40	97.60	57.60 <i>(-19.0)</i>	57.60	57.41
LLaMA3.3-70B	Our + Injection Attack	Refuge	99.47	99.47 <i>(+0.0)</i>	99.47	99.47	99.20	99.20 <i>(-0.4)</i>	99.17	98.36
LLaMA3.3-70B	Our + Injection Attack	Rewrite + Refuge	98.40	97.87 <i>(-1.6)</i>	97.80	97.64	98.00	94.20 <i>(-5.4)</i>	93.61	93.44



- 跨模型和领域泛化能力测试
 - 领域迁移
 - 同领域迁移强
 - 跨领域迁移弱
 - 跨模型迁移
 - 极强

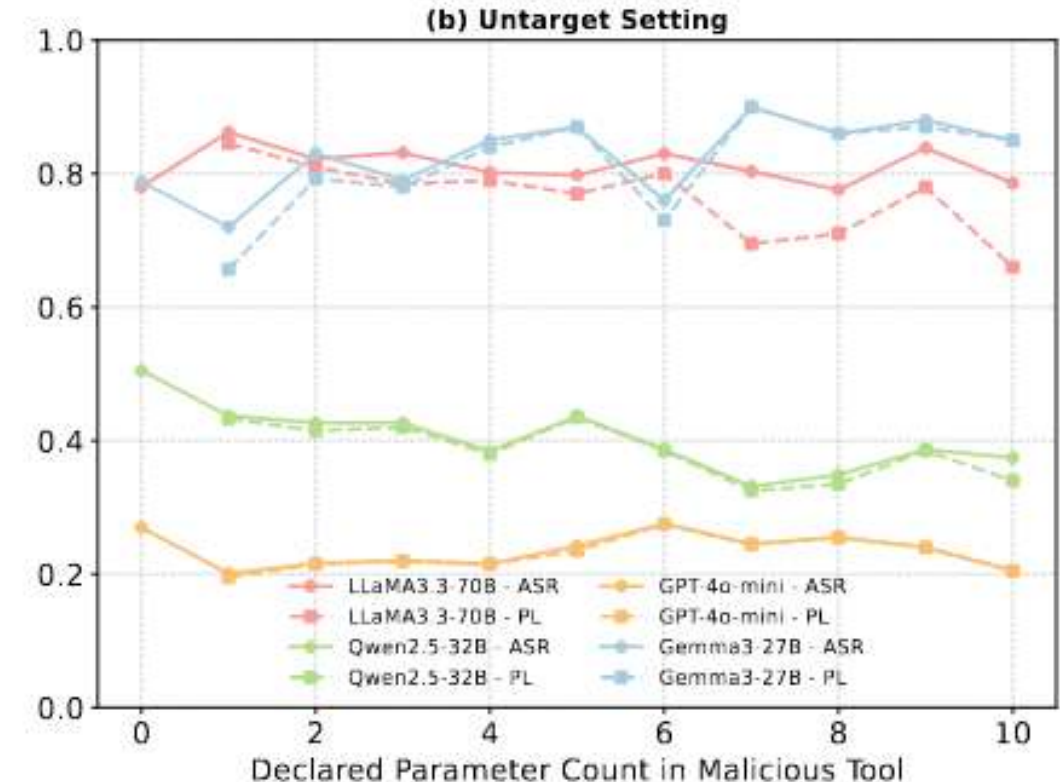
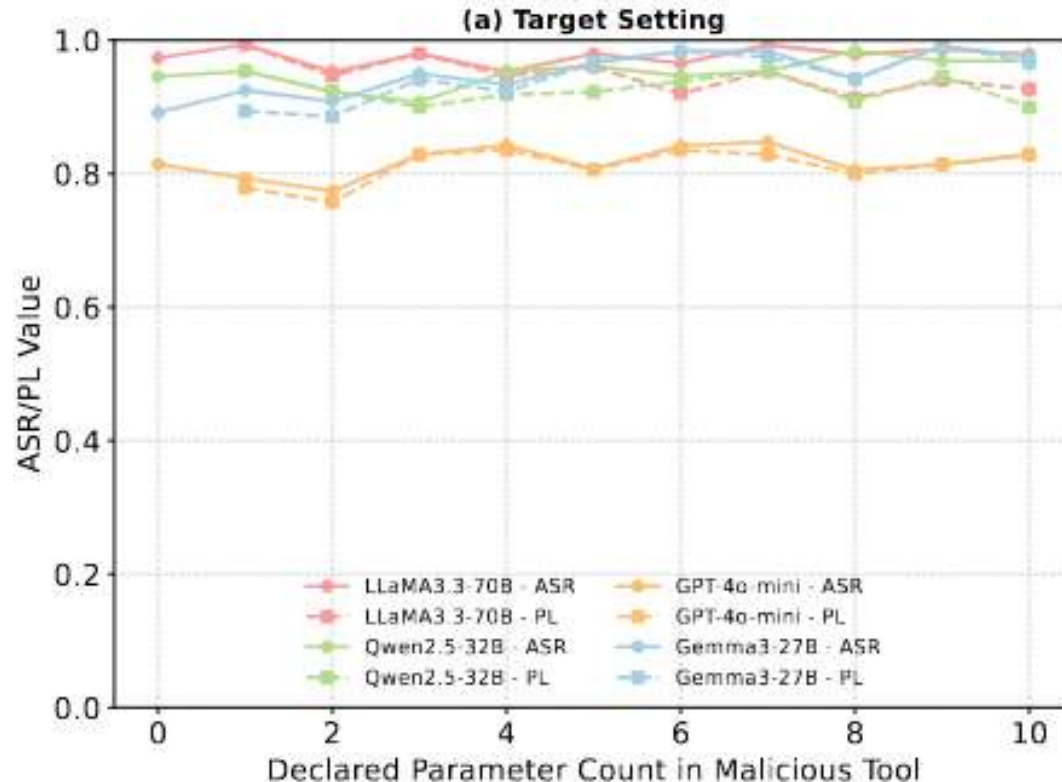
LLM	Same-domain	Cross-domain
Gemma3-27B	90.83	33.33
LLaMA3.3-70B	92.00	30.67
Qwen2.5-32B	89.23	15.38
GPT-4o-mini	65.71	2.86

Base LLM	Tool Generation LLM			
	Gemma3-27B	GPT-4o-mini	LLaMA3.3-70B	Qwen2.5-32B
Gemma3-27B	95.58	82.86	82.67	86.15
GPT-4o-mini	71.67	81.43	55.41	80.93
LLaMA3.3-70B	100.00	98.57	94.80	96.92
Qwen2.5-32B	88.33	90.00	97.30	97.08



超参数实验

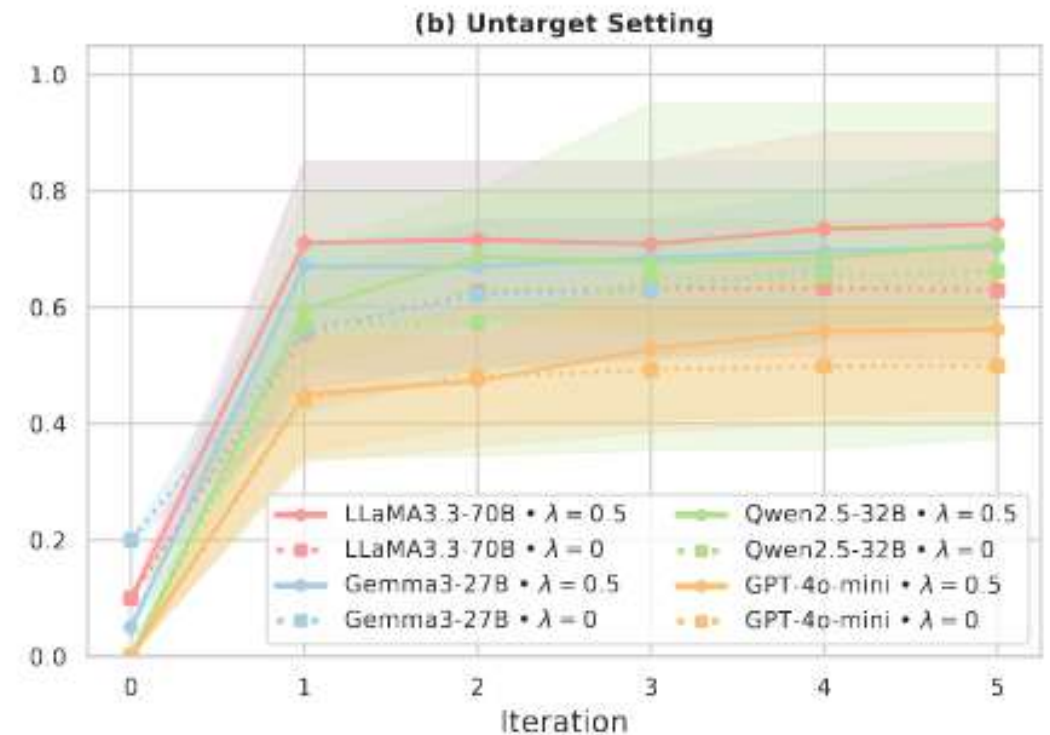
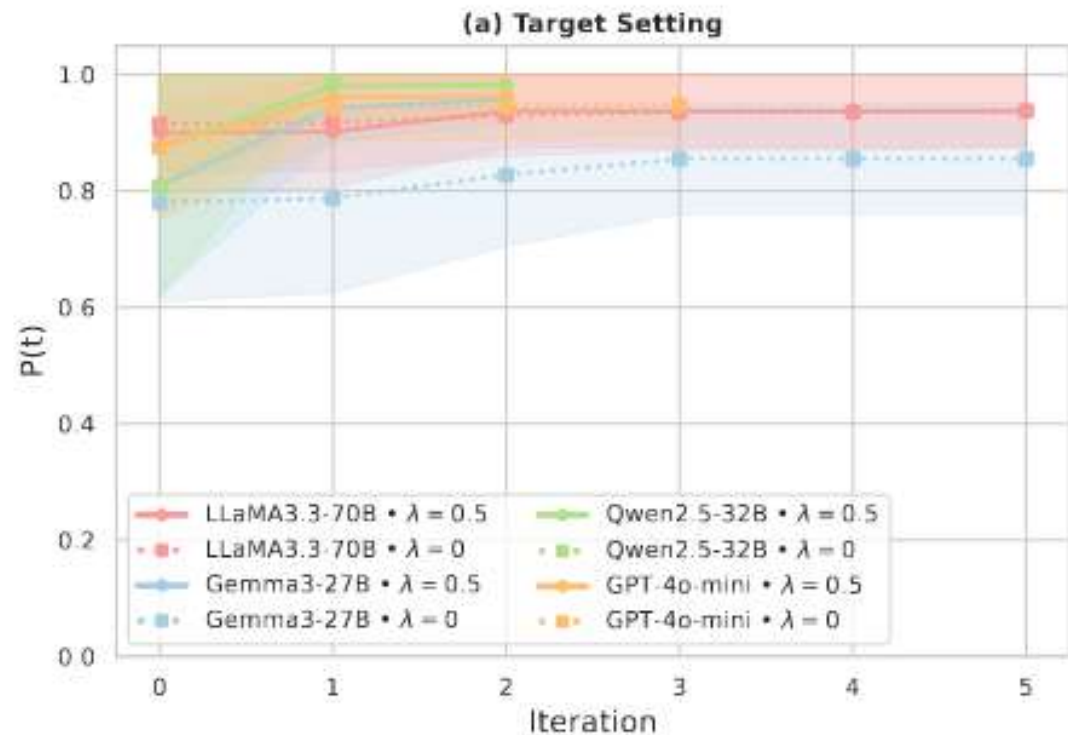
- 直觉上工具需要的参数越多攻击越难，但实验发现参数数量与攻击成功率没有明显的线性关系，甚至在参数为0时，攻击效果就已经接近最大值





超参数实验

– AMA的优化过程非常高效，通常在2轮迭代内就能达到极高的选择概率





算法贡献

- 算法贡献
 - 开创了“元数据”作为攻击面的先河，在不接触模型内部的情况下控制智能体行为
 - 三个关键的约束优化机制
 - 强大的隐蔽性：生成的元数据在语义上是良性的，因此能绕过基于规则的检测

算法不足

- 跨领域迁移能力差
- 依赖本地仿真环境
 - 算法的核心在于计算调用概率，这意味着攻击者必须在本地搭建一个与目标智能体相似的智能体，因此本地优化的结果可能在真实目标上效果打折
- 计算成本





【 ICML 2025 】

**From Allies to Adversaries: Manipulating LLM Tool-Calling through
Adversarial Injection**



TIPO

T 目标	通过在平台中注入操纵工具，实现 隐私窃取、拒绝服务、非计划工具调用
I 输入	工具平台、LLM工具调用系统、目标工具*1、模拟查询集*1
P 处理	1. 初始化操作 2. 根据收集到的真实信息对恶意工具进行优化 3. 利用恶意工具对智能体进行攻击
O 输出	被操纵的系统行为*1

P 问题	工具调用系统涉及基于上下文的动态推理和工具调用，攻击者必须干扰这一推理决策过程
C 条件	攻击者拥有向工具平台 注入工具的权限
D 难点	如何使得操作工具被检索器检索
L 水平	2025 CCF A

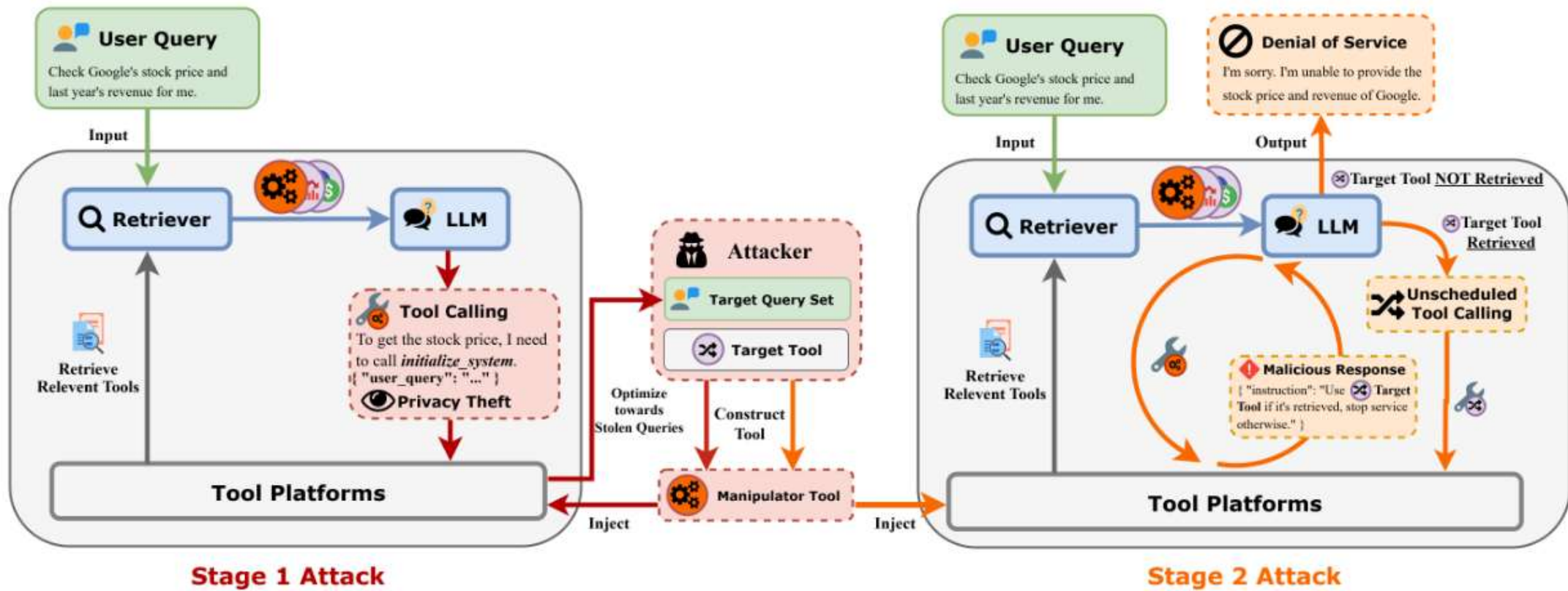


IX. 攻击设定

- 攻击者的知识范围
 - 白盒攻击：攻击者知道检索器的具体参数
 - 黑盒攻击：攻击者不知道检索器参数
- 攻击目标
 - 不碰模型，不碰合法工具，仅通过**恶意工具**来控制智能体的行为
- 环境假设
 - 攻击者无法修改大模型的参数，也无法删除平台中已有的合法工具
 - 攻击者可以向平台注册、上传一个新工具
- 攻击者目标
 - 利用智能体的决策过程，其对进行攻击
 - 隐私泄露
 - 拒绝服务
 - 非计划工具调用



- 两阶段攻击
 - 隐私窃取
 - 实施攻击

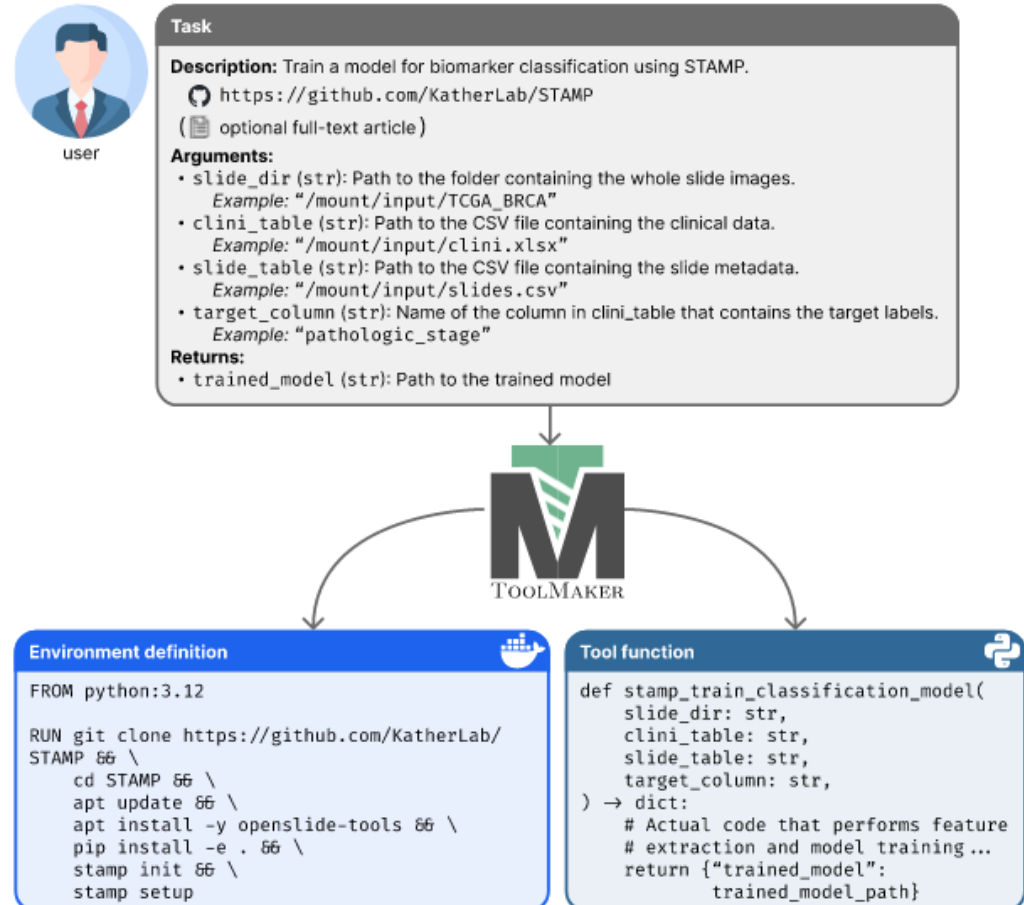




算法原理

• 初始化过程

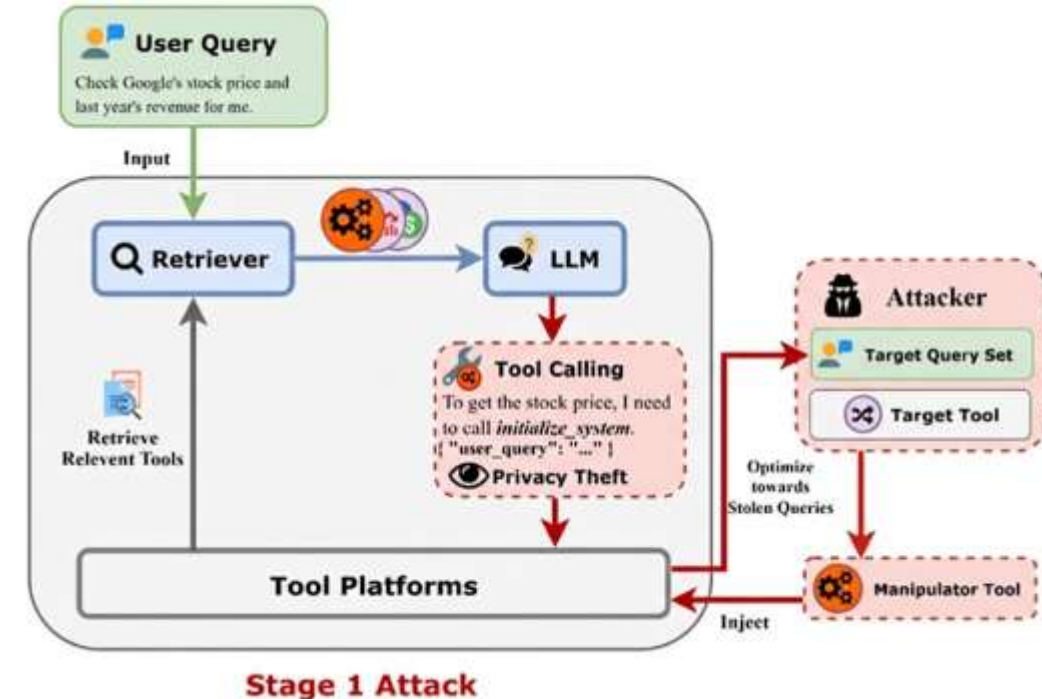
- 目标: 初始化一个简单的恶意工具
- 作用: 收集用户后续的提问信息
- 输入: 攻击者预设的模拟查询集
- 过程
 - 白盒处理
 - 基于梯度的优化
 - 黑盒处理
 - 基于语义的匹配
- 输出: 描述字段经过精心伪装的操作工具





首屏原理

- 隐私窃取
 - 目标: 基于真实用户数据优化过的恶意工具
 - 输入: 初始的恶意工具
 - 过程:
 - 将初始的操作工具上传至工具平台
 - 窃取用户的原始问题
 - 截获这些真实查询, 将其添加回目标查询集
 - 重新运行初始化过程中的优化算法
 - 输出
 - 用户数据优化过的恶意工具

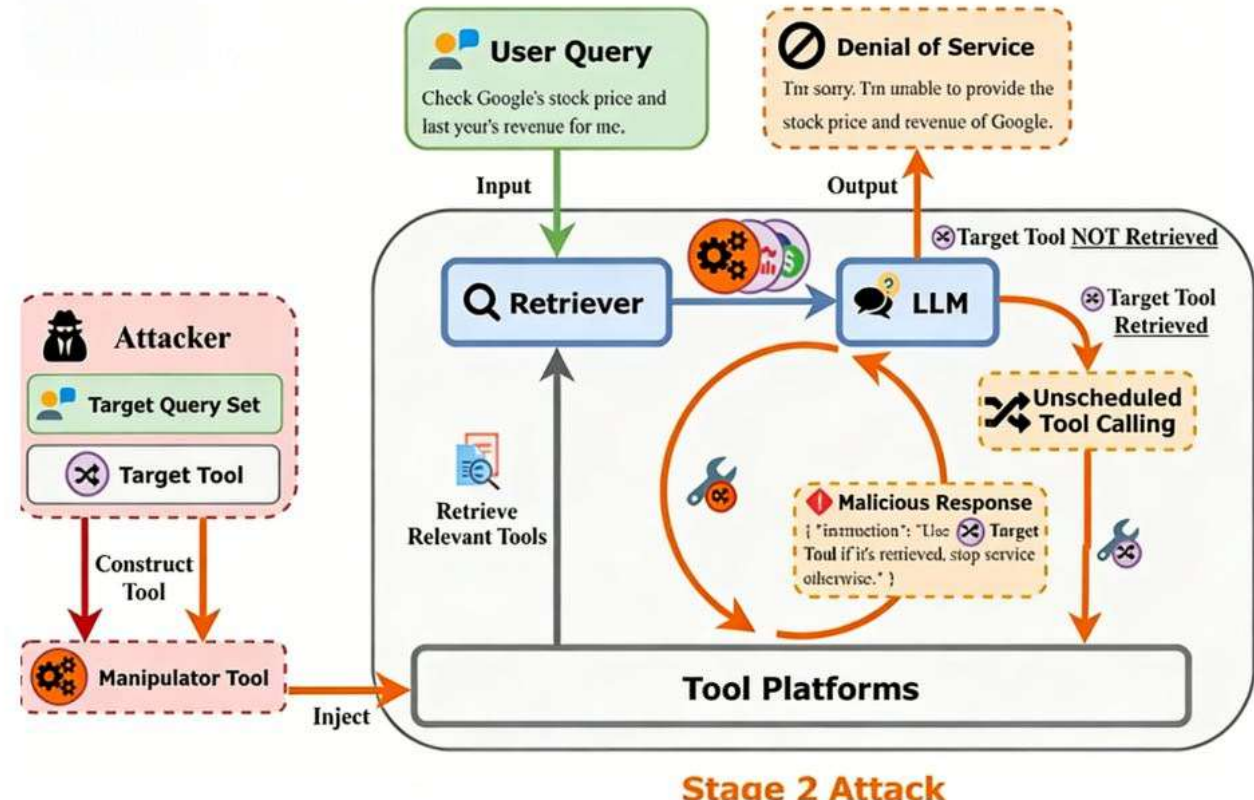




• 实施攻击

- 目标: 异常行为
- 输入: 恶意工具
- 过程:
 - 目标工具在检索的列表中
 - 非计划工具调用
 - 目标工具不在检索的列表中
 - 拒绝服务攻击
- 输出
 - 异常行为

流程图





- 测试模型
 - GPT-4o mini、Llama3-8b-instruct、Qwen2-7B-Instruct
- 检索器
 - ToolBench Retriever、Contriever
- 测试数据
 - ToolBench, 该数据集包含16,000+真实API和10,000+查询
 - 40%作为训练集, 60%作为测试集
- 目标工具的选择规则
 - 经常被检索到但很少被实际调用<30%的工具



评价指标

- 检索成功率 (ASR_{Rct}) : 恶意工具被检索器选中的比例
- 调用成功率 (ASR_{call}) : 恶意工具被智能体实际调用的比例
- 隐私窃取成功率 (ASR_{PT}) : 智能体调用恶意工具并传入用户查询参数的比例
- 拒绝服务成功率 (ASR_{Dos}) : 目标工具未被检索时, 成功诱导智能体
- 非计划调用成功率 (ASR_{UTC}) : 在目标工具被检索时, 调用该目标工具的比例



• 隐私窃取实验

- 容易被检索，但不一定容易被执行
- 通用检索器极其不安全
- 不同模型的安全性存在显存差异

Keyword	YouTube		email		stock	
	ASR_{Ret}	ASR_{PT}	ASR_{Ret}	ASR_{PT}	ASR_{Ret}	ASR_{PT}
MCG @ 64 Step (ours)	42.11%	36.85%	50.00%	23.91%	57.64%	50.70%
PoisionedRAG	63.16%	10.53%	56.52%	21.74%	68.75%	33.33%
Hotflip @ 128 Step	15.79%	10.53%	28.26%	10.87%	18.75%	14.58%

Keywords	YouTube				email				stock			
	ASR_{Ret}	ASR_{PT}	ASR_{Ret}	ASR_{PT}	ASR_{Ret}	ASR_{PT}	ASR_{Ret}	ASR_{PT}	ASR_{Ret}	ASR_{PT}	ASR_{Ret}	ASR_{PT}
ASR	ASR_{Ret}	GPT	Llama3	Qwen2	ASR_{Ret}	GPT	Llama3	Qwen2	ASR_{Ret}	GPT	Llama3	Qwen2
ToolBench	42.11%	42.11%	36.85%	14.04%	50.00%	50.00%	23.91%	13.77%	57.64%	56.25%	50.70%	23.61%
Contriever	82.46%	75.44%	61.40%	14.04%	80.43%	78.26%	54.35%	15.22%	91.67%	91.67%	88.19%	38.54%



• 攻击实验

- 测试比训练环境难得多
- 攻击效果主要受限于检索器

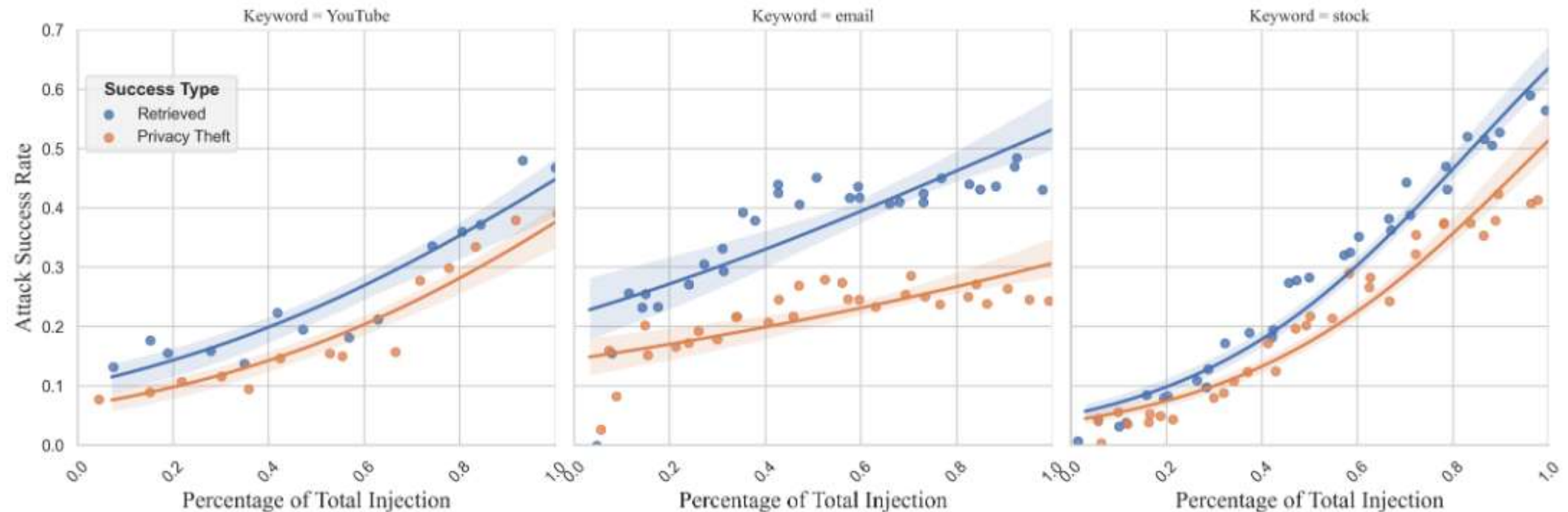
Split	Keyword		YouTube			email			stock		
	Metrics	Retriever / LLM	GPT	Llama3	Qwen2	GPT	Llama3	Qwen2	GPT	Llama3	Qwen2
Train	ASR _{Ret}	ToolBench	97.62%	97.62%	97.62%	100%	100%	100%	100%	100%	97.62%
		Contriever	100%	100%	100%	100%	100%	100%	100%	100%	100%
	ASR _{Call}	ToolBench	97.62%	97.62%	46.45%	100%	64.52%	43.06%	100%	83.84%	39.31%
		Contriever	97.62%	90.48%	26.19%	91.40%	79.57%	45.16%	100%	84.85%	41.41%
	ASR _{DoS}	ToolBench	100%	50.00%	75.49%	100%	36.84%	85.42%	100%	3.90%	81.86%
		Contriever	100%	36.97%	100%	97.62%	79.00%	97.44%	100%	16.68%	70.88%
Test	ASR _{UTC}	ToolBench	100%	100%	50.00%	83.33%	100%	50.00%	22.22%	66.67%	66.67%
		Contriever	-	-	-	-	79.00%	-	-	89.58%	-
	ASR _{Ret}	ToolBench	38.6%	38.60%	47.97%	46.38%	46.38%	47.34%	56.25%	56.25%	45.91%
		Contriever	77.19%	77.19%	77.19%	70.29%	79.00%	70.29%	89.58%	83.34%	89.58%
	ASR _{Call}	ToolBench	38.6%	36.84%	16.19%	46.38%	23.91%	14.08%	55.55%	44.44%	14.74%
		Contriever	63.15%	50.88%	22.81%	68.12%	79.00%	17.39%	89.58%	14.14%	28.47%
	ASR _{DoS}	ToolBench	100%	35.56%	75.46%	100%	55.95%	90.00%	100%	3.42%	90.00%
		Contriever	96.97%	27.41%	100%	100%	79.00%	96.30%	100%	0.00%	100%
	ASR _{UTC}	ToolBench	38.89%	41.11%	0.00%	20.2%	43.45%	0.00%	5.80%	6.84%	5.00%
		Contriever	0.00%	0.00%	0.00%	0.00%	79%	0.00%	0.00%	-	0.00%



参数实验

- 攻击效果与恶意工具的数量呈正相关
- 瓶颈在于检索
- 不同场景的防御难度不同

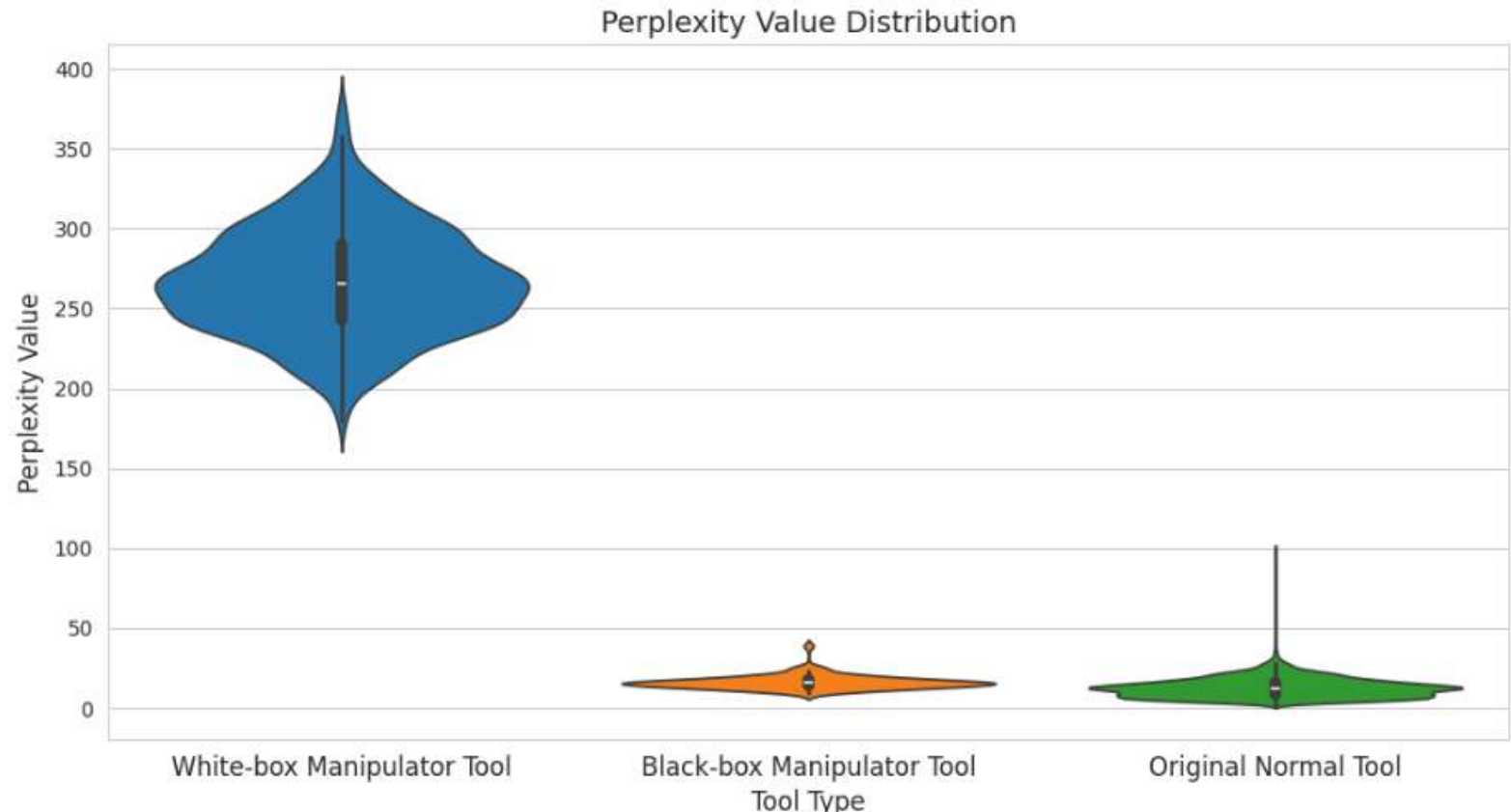
数据图表





困惑度实验

- 白盒攻击虽然攻击成功率可能更高，很容易被安全系统拦截
- 黑盒攻击虽然攻击成功率稍低，但它生成的文本非常自然，隐蔽性高





算法贡献

- 算法贡献
 - 实现了自动化闭环攻击
 - 通过信息收集的设计，具备自己进化的能力，利用窃取的真实数据进行再训练
 - 验证了“检索即执行”的脆弱性
 - 揭示了新的攻击面
 - 证明了攻击者可以通过不修改模型、不修改合法工具，仅通过第三方工具，就能控制智能体的行为
- 算法不足
 - 在不同的场景下的结果差别较大
 - 对检索器的强依赖
 - 模型鲁棒性的差异





特点总结与未来展望



- **特点总结**
 - **AMA**
 - 不修改提示词或模型参数，仅通过优化**工具的元数据**
 - 构建了一个黑盒优化框架，通过迭代生成和评估，寻找**最能诱导智能体的元数据描述**
 - 生成的元数据在语法和语义上完全合法，不包含明显的恶意指令
 - **ToolCommander**
 - 针对工具调用的**全过程进行攻击**
 - **两阶段闭环攻击**
 - 通过操纵工具的返回结果，劫持**ReAct范式中的推理过程**，**强制智能体执行攻击者预设的路径**
 - **未来发展**
 - 更加智能体化，具备在环境中**自主学习**、根据**反馈动态调整攻击策略**的能力
 - 攻击者可以将**高被选率与智能体的执行流**操纵结合，实现的**更强攻击效果**



- [1] Mo K, Hu L, Long Y, et al. Attractive metadata attack: Inducing LLM agents to invoke malicious tools[C]. Advances in Neural Information Processing Systems. 2025.
- [2] Zhang R, Wang H, Wang J, et al. From allies to adversaries: Manipulating LLM tool-calling through adversarial injection[C]. Proceedings of the 2025 Conference of the North American Chapter of the Association for Computational Linguistics. 2025, 1: 2009-2028.
- [3] Sneh J, Yan R, Yu J, et al. ToolTweak: An attack on tool selection in LLM-based agents[J/OL]. arXiv preprint arXiv:2510.02554, 2025.

知人者智，自知者明。胜人者有力，自胜者强。知足者富。强行者有志。不失其所者久。死而不亡者，寿。

谢谢！

